

HUMIDITY SENSOR

QUICK REFERENCE DATA

Humidity range	10 to 90% R.H.
Capacitance at +25 °C, 43% R.H. and 100 kHz	122 pF ± 15%
Sensitivity between 12 and 75% R.H.	0,4 ± 0,05 pF/% R.H. ←
Frequency range	1 kHz to 1 MHz
Maximum AC or DC voltage	15 V
Storage humidity range	0 to 100% R.H.
Ambient temperature range	0 to +85 °C
Operating	-25 to +85 °C
Storage	

APPLICATION

For humidity measurements in electronic hygrometers for domestic use, self-regulating air humidifiers, etc.

DESCRIPTION

This capacitive atmospheric humidity sensor consists of a non-conductive foil, which is covered on both sides with a layer of gold. The dielectric constant of the foil changes as a function of the relative humidity of the ambient atmosphere and, accordingly, the capacitance value of the sensor is a measure for relative humidity. The foil is clamped between contact springs and assembled in a plastic housing. It is provided with two connecting pins fitting printed-wiring boards with a grid pitch of 2,54 mm, provision is also made for fastening with 3 mm bolts. The characteristics are not affected by an incidental condensation of water on the sensor foil. It should not be exposed to acetone vapour, nor to chlorine vapours.

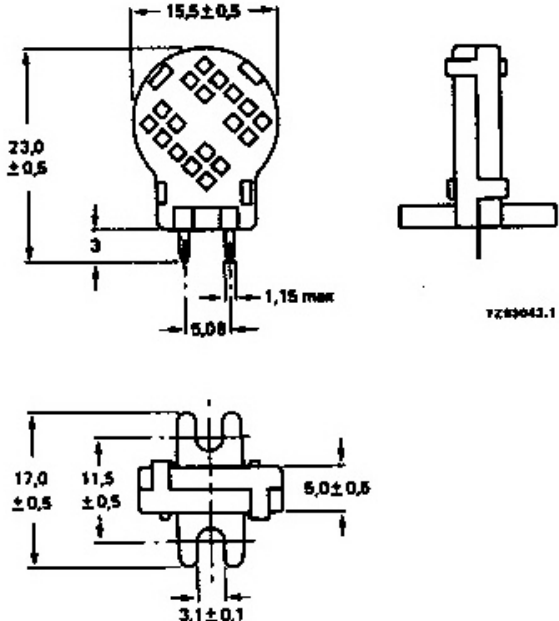


Fig. 1 Dimensions in mm.

MECHANICAL DATA**Outlines**

See Fig. 1.

Marking

PHILIPS H1

Mass

1,3 g approximately

Mounting

The item can be soldered directly onto a printed-wiring board or can be fastened with 3 mm bolts.

Soldering**Solderability**

max. 240 °C, max. 4 s

Resistance to heat

max. 240 °C, max. 4 s

Robustness of terminations**Tensile strength**

10 N

Impact**Free fall**

1 m

Inflammability

uninflammable

ELECTRICAL DATA**Humidity range**

10 to 90% R.H.

Capacitance at +25 °C, 43% R.H., 100 kHz

122 pF ± 15%

→ **Tan δ at +25 °C, 100 kHz and 43% R.H.**

< 0.035

→ **Sensitivity between 12 and 75% R.H.**

0,4 ± 0,05 pF/% R.H.

Frequency range

1 kHz to 1 MHz

Temperature dependence

0,1% R.H./K

Response time (to 90% of indicated R.H.

change at +25 °C, in circulating air)

< 3 min.

between 10 and 43% R.H.

< 6 min.

between 43 and 90% R.H.

3% approximately

Hysteresis (for R.H. excursion of 10 to 90 to 10%)

15 V

Maximum a.c. or d.c. voltage

0 to 100% R.H.

Storage humidity range

0 to +85 °C

Ambient temperature range

-25 to +85 °C

Operating

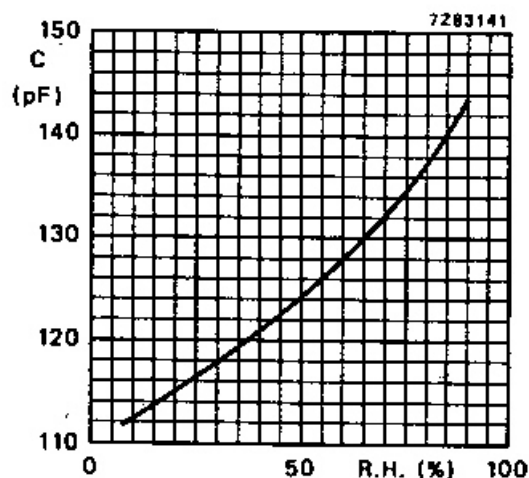


Fig. 2 Typical capacitance/relative humidity characteristic.

QUALITY LEVEL

Sampling and data evaluation for quality level according to MIL-STD-106D.

- A.Q.L. 0,25% — Inoperatives
- A.Q.L. 1% — Electrical
- A.Q.L. 1,5% — Mechanical

PACKAGING

500 pieces per box.

quadriporte NON-OU à 2 entrées

HEF 4001UI

Janvier 1984

CARACTÉRISTIQUES DYNAMIQUES

V_{SS} = 0 V ; T_{AMB} = 25 °C ; C_L = 50 pF ; temps de transition des sorties < 20 ns.

	V _{PP} [V]	symbole	typ. max.	formule d'extrapolation
Temps de propagation I _H → O _H front descendant	5 10 15	IPLH	80 25 20	33 ns + (0,55 ns/pF) C _L 14 ns + (0,23 ns/pF) C _L 12 ns + (0,16 ns/pF) C _L
Front montant	5 10 15	IPLH	50 100 25 45 35	23 ns + (0,55 ns/pF) C _L 14 ns + (0,23 ns/pF) C _L 12 ns + (0,16 ns/pF) C _L
Temps de transition de la sortie front descendant	5 10 15	ITHL	60 120 60 60 40	10 ns + (1,0 ns/pF) C _L 9 ns + (0,42 ns/pF) C _L 6 ns + (0,28 ns/pF) C _L
front montant	5 10 15	ITLH	60 120 60 60 40	10 ns + (1,0 ns/pF) C _L 8 ns + (0,42 ns/pF) C _L 6 ns + (0,28 ns/pF) C _L

V _{PP} [V]	formule explicative pour P ₁ (W)	avec :				
		I ₁ = f _{REQ} d'entrée (MHz)	I ₂ = freq. de sortie (MHz)	C _o = capacité de charge (pF)	C ₁ = capacité de charge (pF)	V _{DD} = tension d'alimentation (V)
Puissance dynamique dissipée par sortie (P ₁)	5 10 15	1100 I ₁ + 51(C ₁) × V _{DD} ³ 5000 I ₂ + 27(C _o) × V _{DD} 14 200 I ₁ + 27(C ₁) × V _{DD}				

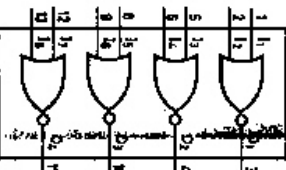


Fig. 1 Schéma fonctionnel.

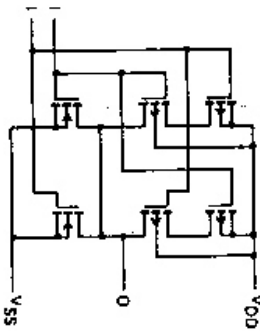


Fig. 3 Schéma électrique (une porte). La séparation des transistors permet d'obtenir des entrées identiques.

CARACTÉRISTIQUES GÉNÉRALES

LIMITES I_{OD} (catégorie PORTES)

voir Spécifications générales

Produit homologué CECC 90 124 003

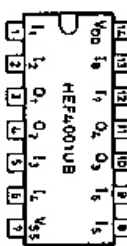


Fig. 2 Brochage.

HEF 4001UBP: plastique, DIL 14 broches (SOT-27K)

HEF 4001UBD: céramique, DIL 14 broches (SOT-73)

HEF 4001UAB: plastique, boîtier plat 14 broches (SO-14, SOT-108A)

Le circuit intégré HEF 4001UB se compose de quatre portes NON-OU à 2 entrées. La version I_{OD} → O_H suffisante permet la réalisation directe de la fonction NON-OU. L'impédance de sortie et le temps de transition de la sortie dépendent de la tension d'entrée et des tempes de montée et de descente de l'entrée.

CARACTÉRISTIQUES DYNAMIQUES

$V_{SS} = 0 \text{ V}$; $T_{AMB} = 25^\circ\text{C}$; $C_L = 50 \text{ pF}$; temps de transition des entrées $\leq 20 \text{ ns}$.

	$\frac{V_{DD}}{V_T}$	symbole	typ.	max.	formule d'extrapolation
Temps de propagation $t_n \rightarrow C_{in}$ front descendant	5 10 15	t_{PLH}	65 30 25	130 ns ns	$30 \text{ ns} + [0,70 \text{ ns}/\text{pF}] C_L$ $17 \text{ ns} + [0,27 \text{ ns}/\text{pF}] C_L$ $15 \text{ ns} + [0,20 \text{ ns}/\text{pF}] C_L$
Front montant	5 10 15	t_{PLH}	40 30 20	80 ns ns	$13 \text{ ns} + [0,55 \text{ ns}/\text{pF}] C_L$ $9 \text{ ns} + [0,23 \text{ ns}/\text{pF}] C_L$ $7 \text{ ns} + [0,18 \text{ ns}/\text{pF}] C_L$
Temps de transition de la sortie front descendant	5 10 15	t_{TTL}	75 60 40	ns ns ns	$15 \text{ ns} + [1,20 \text{ ns}/\text{pF}] C_L$ $6 \text{ ns} + [0,48 \text{ ns}/\text{pF}] C_L$ $4 \text{ ns} + [0,22 \text{ ns}/\text{pF}] C_L$
front montant	5 10 15	t_{TTL}	60 50 40	ns ns ns	$10 \text{ ns} + [1,00 \text{ ns}/\text{pF}] C_L$ $9 \text{ ns} + [0,42 \text{ ns}/\text{pF}] C_L$ $6 \text{ ns} + [0,28 \text{ ns}/\text{pF}] C_L$
Capacité d'enregistrement	-	C_{IN}	-	10	pF

PUISSANCE DYNAMIQUE dissipée par boîtier [P]	$\frac{V_{DD}}{V_T}$	FORMULE TYPIQUE POUR $P_{DYNAMIC}$		
		avec :	$f_T = f_{SO} \text{ d'envers (MHz)}$	$C_{in} = \text{capacité d'enregistrement (pF)}$
5	5	$500 f_T + 2 [(f_{SO} C_{in}) \times V_{DD}]^2$	$f_{SO} = f_{SO} \text{ de sortie (MHz)}$	$V_{DD} = \text{tension d'alimentation (V)}$
10	10	$5000 f_T + 2 [(f_{SO} C_{in}) \times V_{DD}]^2$		
15	15	$30000 f_T + 2 [(f_{SO} C_{in}) \times V_{DD}]^2$		



Fig. 4 Caractéristiques de transfert typiques : une entrée, l'autre entrée connectée à V_{SS} ; — $V_O = 0$; --- $V_O = 10 \text{ V}$. drain; $I_D = 0$; $V_{DD} = 10 \text{ V}$.



Fig. 5 Caractéristiques de transfert typiques : une entrée, l'autre entrée connectée à V_{SS} ; — $V_O = 0$; --- $V_O = 10 \text{ V}$. drain; $I_D = 0$; $V_{DD} = 10 \text{ V}$.

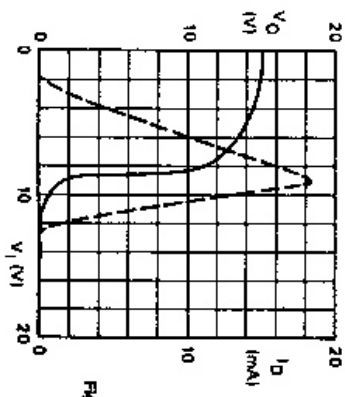


Fig. 6 Caractéristiques de transfert typiques : une entrée, l'autre entrée connectée à V_{SS} ; — $V_O = 0$; --- $V_O = 5 \text{ V}$; - · - $V_O = 10 \text{ V}$. drain; $I_D = 0$; $V_{DD} = 15 \text{ V}$.

APPLICATION

Exemples d'application du circuit intégré HEF 4001UB :

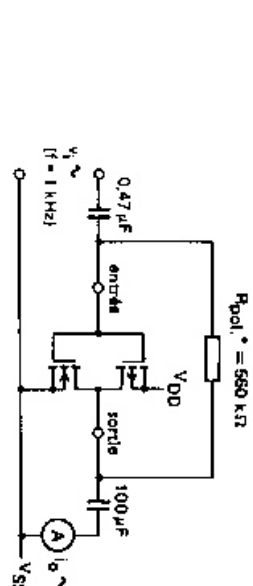
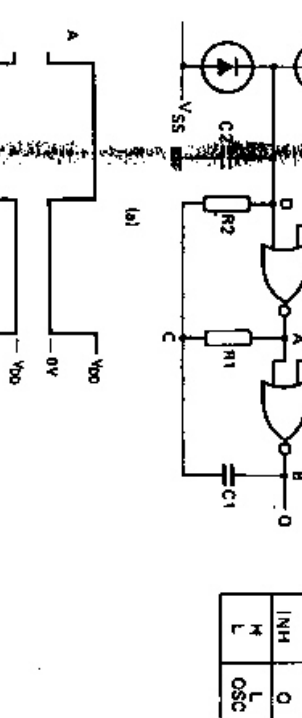
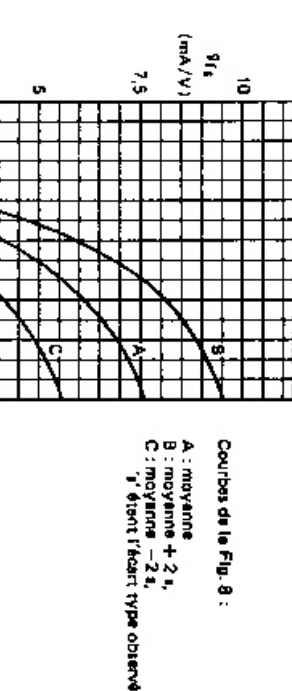


Fig. 7 Circuit de mesure de la transconductance directe
 $g_{m1} = \frac{di}{dv_s}$ pour V_o constant (voir également les courbes
 de la Fig. 8).

* polarisation

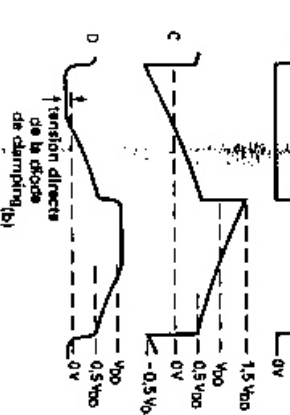


(a)



Courbes de la Fig. 8 :

- A : moyenne
- B : moyenne + 2,
- C : moyenne - 2,
- * étant l'écart type observé



(b)

Fig. 9 (a) Oscillateur de relaxation estable avec deux ports HEF 4001UB : les diodes peuvent être du type BAN802 ; C_2 est une capacité parallèle ; (b) Signaux aux points marqués A, B, C et L du schéma d'application.

Dans le circuit de la Fig. 9, la fréquence d'oscillation est principalement déterminée par $R1C1$, condition que $R1 \ll R2$ et $R2C2 \ll R1C1$.
 R2 a pour fonction de réduire l'influence de la tension directe des diodes de protection sur la fréquence d'oscillation : $C2$ est une capacité répartie (parallèle). La période T_P est donnée par l'équation : $C2$ est une capacité répartie (parallèle). La période T_P est donnée par les formules : $T_P = T_1 + T_2$ donc les deux membres de droite peuvent être exprimés par les formules : $T_1 = R1C1 \ln \frac{V_{DD} + V_{ST}}{V_{ST}}$ et $T_2 = R1C1 \ln \frac{2V_{DD} - V_{ST}}{V_{DD} - V_{ST}}$ où

Fig. 8 Transconductance directe typique g_{m1} au fonctionnement de la tension d'alimentation à $T_{amb} = 25^\circ\text{C}$.

V_{ST} est la valeur du seuil de déclenchement de la porte. La période est relativement indépendante de V_{DD} , V_{ST} et de la température. Le rapport cyclique, par contre, est influencé par V_{ST}

